

有限変位理論による構造解析

三菱重工業 K.K. 特別会員 藤野 助
三菱重工業 K.K. 正会員 大坂 勝司

序 普通の構造物は、外力の作用による変形が比較的微少であって、原形と著しく異った形状で平衡状態に達することはない。一般に構造解析を行う場合には、微少変位を仮定した弾性理論を用いてもさしつかえないものであるが、吊橋などのように剛性の小さな柔構造は荷重に対する平衡位置と原形とのずれが大きく、これを無視できなくなってくる。また自重による大きさは Prestress か部材に加わった状態にあることなどから、これらによる次次の影響を考慮することが必要である。

一般に有限変位理論による構造解析は非線形となるので実際の問題を取扱うには困難が多い。そのため本文では弾性理論を反復修正することによって直接実際に則して応力を求めるよう試みた。つまり、弾性理論により求めた変形位置で平衡方程式を再び組立て平衡状態と平衡方程式のずれがなくなるまで計算を繰り返すわけである。

本文に用いた弾性理論は、いわゆる変形法である。これは、従来の撓度理論(deflection theory)が巨視的には立場から構造解析を行ってきたのに對して、微視的には方向から構造全体を解析したことによる。この特長は補剛筋の軸力、tower の変形、hanger の伸びの影響が直接計算に含まれ、すべての変形に対して有限変位が考慮されるところである。非常に厳密な解析が可能である。また持垂の形式の構造ではなく長大な span をもつ橋梁一般に適用できるので変断面補剛筋、斜吊材、斜張索をもつ吊橋その他、アーチ橋などにもまったく自由に適用できることなどであろう。応用例として次ページに連続補剛筋をもつ吊橋の計算例を取り上げてある。

解析理論 断面一様な弾性ばりの軸方向を主軸と定め、これと直交する主軸方向をりとする(図1)。はりの変形は (ξ, η) 面内のみ生じ、次の一次変形を仮定できるとする(図2)。

$$u(\xi, \eta) = u(\xi) - \eta \phi(\xi), \quad v(\xi, \eta) = v(\xi) \quad \dots \dots \dots (1)$$

はりの変形によるヒスミエネルギーは

$$e_t = \frac{\partial u}{\partial \xi} = \frac{du}{d\xi} - \eta \frac{d\phi}{d\xi}, \quad r_{t\eta} = \frac{\partial v}{\partial \xi} + \frac{\partial u}{\partial \eta} = \frac{dv}{d\xi} - \phi'(\xi) \quad \dots \dots \dots (2)$$

はりに貢献されるヒスミエネルギーは

$$V = \iiint \left(\frac{1}{2} E e_t^2 + \frac{1}{2} G r_{t\eta}^2 \right) d\xi d\eta d\zeta = \frac{1}{2} \int [EA \left(\frac{du}{d\xi} \right)^2 + GA \left(\frac{dv}{d\xi} - \phi'(\xi) \right)^2 + EI \left(\frac{d\phi}{d\xi} \right)^2] d\xi \quad \dots \dots \dots (3)$$

$$\text{ただし } A = \int d\eta d\zeta, \quad AS = \mu A, \quad I = \iint \eta^2 d\eta d\zeta$$

ここで、はりを骨組構造を構成する部材として考える。いま、はりの結合点は適当に付番されているもととして、構造全体に共通な基本直交座標軸に

x, y を選べば、これに任意のはり (i, j) に固有な部分座標を ξ, η のベクトル関係は

$$\begin{bmatrix} \xi \\ \eta \end{bmatrix} = \begin{bmatrix} \cos \theta_{ij} & \sin \theta_{ij} \\ -\sin \theta_{ij} & \cos \theta_{ij} \end{bmatrix} \begin{bmatrix} x \\ y \end{bmatrix} \quad \dots \dots \dots (4)$$

で表わされる。(図3)

構造全体のヒスミエネルギー V は、部材のヒスミエネルギーの総和であるから

$$V = \frac{1}{2} \sum_i \sum_j \frac{1}{2} \int \int \left(E e_t^2 + G r_{t\eta}^2 \right) d\xi d\eta d\zeta = \frac{1}{2} \sum_i \sum_j \int_1^l \left[EA \left(\frac{du}{d\xi} \right)^2 + GA \left(\frac{dv}{d\xi} - \phi' \right)^2 + EI \left(\frac{d\phi}{d\xi} \right)^2 \right] d\xi \quad \dots \dots \dots (5)$$

したがって、変位に対するヒスミエネルギーの変分は、

$$\delta V = \frac{1}{2} \sum_i \sum_j \int_1^l \left[EA \frac{du}{d\xi} \frac{d}{d\xi} \delta u + GA \frac{dv}{d\xi} \left(\frac{d\eta}{d\xi} - \phi' \right) \left(\frac{d}{d\xi} \delta v - \phi'' \right) + EI \frac{d\phi}{d\xi} \frac{d}{d\xi} \delta \phi \right] d\xi$$

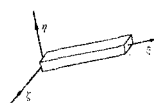


図 1

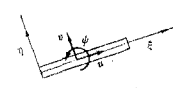


図 2

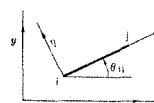


図 3

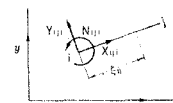


図 4

$$\begin{aligned}
& \frac{1}{2} \sum_i \sum_j [EA \frac{du}{d\xi} \partial u + GA \frac{(dv - \phi)}{d\xi} \partial v + EI \frac{d\phi}{d\xi} \partial \phi]_i^j - \int_i^j [dX \frac{du}{d\xi} \partial u + dY \frac{dv}{d\xi} \partial v + (dN + Y) \partial \phi] d\xi \\
& = \frac{1}{2} \sum_i \sum_j [X \partial u + Y \partial v + N \partial \phi]_i^j - \int_i^j [dX \frac{du}{d\xi} \partial u + dY \frac{dv}{d\xi} \partial v + (dN + Y) \partial \phi] d\xi \\
& = \frac{1}{2} \sum_i \sum_j [X_{ijl} \partial u_{ijl} + Y_{ijl} \partial v_{ijl} + N_{ijl} \partial \phi_{ijl}] - Y_{ijl} \partial u_{ijl} - N_{ijl} \partial \phi_{ijl} - \int_i^j [dX \frac{du}{d\xi} \partial u + dY \frac{dv}{d\xi} \partial v + (dN + Y) \partial \phi] d\xi \\
& = \frac{1}{2} \sum_i \sum_j \left(X_{ijl} Y_{ijl} N_{ijl} \begin{pmatrix} \cos \theta_{ijl} \sin \theta_{ijl} 0 \\ 0 0 1 \end{pmatrix} \begin{pmatrix} \partial u_{ijl} \\ \partial v_{ijl} \\ \partial \phi_{ijl} \end{pmatrix} \right) - \frac{1}{2} \sum_i \sum_j \left(X_{ijl} Y_{ijl} N_{ijl} \begin{pmatrix} \cos \theta_{ijl} \sin \theta_{ijl} 0 \\ 0 0 1 \end{pmatrix} \begin{pmatrix} \partial u_{ijl} \\ \partial v_{ijl} \\ \partial \phi_{ijl} \end{pmatrix} \right) - \frac{1}{2} \sum_i \sum_j \int_i^j [dX \frac{du}{d\xi} \partial u + dY \frac{dv}{d\xi} \partial v + (dN + Y) \partial \phi] d\xi \\
& = - \sum_i \sum_j \left(X_{ijl} Y_{ijl} N_{ijl} \begin{pmatrix} \cos \theta_{ijl} \sin \theta_{ijl} 0 \\ 0 0 1 \end{pmatrix} \begin{pmatrix} \partial u_{ijl} \\ \partial v_{ijl} \\ \partial \phi_{ijl} \end{pmatrix} \right) - \frac{1}{2} \sum_i \sum_j \int_i^j [dX \frac{du}{d\xi} \partial u + dY \frac{dv}{d\xi} \partial v + (dN + Y) \partial \phi] d\xi \cdots \cdots (6)
\end{aligned}$$

ここで構造に作用する外力が、変位によって失う位置エネルギーを P とすれば、無荷重状態の系全体の位置エネルギーの変分から $\delta V - \delta P = 0$ ……(7) である。いま、(4)の結合点に集中力が作用している場合を考証(図5)

$$\delta P = X_1 \partial u_1 + Y_1 \partial v_1 + N_1 \partial \phi_1 \cdots \cdots (8)$$

(6), (7), (8)式から次の連立微分方程式が得られる。

$$dX_{ijl}=0, \quad \frac{dY_{ijl}}{d\xi_{ijl}}=0, \quad \frac{dN_{ijl}}{d\xi_{ijl}}=Y_{ijl} \cdots \cdots (9)$$

$$\sum_j (X_{ijl} \cos \theta_{ijl} - Y_{ijl} \sin \theta_{ijl}) + X_1 = 0, \quad \sum_j (X_{ijl} \sin \theta_{ijl} + Y_{ijl} \cos \theta_{ijl}) + Y_1 = 0, \quad \sum_j N_{ijl} + N_1 = 0 \cdots \cdots (10)$$

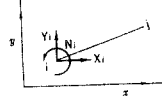


図 5

$$\therefore \text{ここで } \cos \theta_{ijl} = \frac{(x_i + u_{ijl}) - (x_j + u_{jl})}{l_{ij}}, \quad \sin \theta_{ijl} = \frac{(y_i + v_{ijl}) - (y_j + v_{jl})}{l_{ij}}, \quad l_{ij} = \sqrt{(x_i + u_{ijl})^2 + (y_i + v_{ijl})^2 - (x_j + u_{jl})^2 - (y_j + v_{jl})^2}$$

$$X_{ijl} = E_{ijl} A_{ijl} \frac{du_{ijl}}{d\xi_{ijl}} + T_{ijl} - \alpha t_{ijl} E_y A_{ijl}, \quad Y_{ijl} = G_{ijl} A_{ijl} \frac{dv_{ijl}}{d\xi_{ijl}} + \phi_{ijl}, \quad N_{ijl} = E_{ijl} I_{ijl} \frac{d\phi_{ijl}}{d\xi_{ijl}} \cdots \cdots (11)$$

$$(9) \text{ (ii) 成り立つ} \quad u_{ijl} = u_{ijl} + \frac{1}{E_{ijl} A_{ijl}} (X_{ijl} - T_{ijl} - \alpha t_{ijl} E_y A_{ijl}) \xi_{ijl}, \quad v_{ijl} = v_{ijl} + \left(\frac{Y_{ijl}}{G_{ijl} A_{ijl}} + \phi_{ijl} \right) \xi_{ijl} + \frac{1}{2} \frac{N_{ijl}}{E_{ijl} I_{ijl}} \xi_{ijl}^2 - \frac{1}{6} \frac{Y_{ijl}}{E_{ijl} I_{ijl}} \xi_{ijl}^3, \quad \phi_{ijl} = \phi_{ijl} + \frac{N_{ijl}}{E_{ijl} I_{ijl}} \xi_{ijl} - \frac{1}{2} \frac{Y_{ijl}}{E_{ijl} I_{ijl}} \xi_{ijl}^2 \cdots \cdots (12)$$

(12)式を整理して部材端の変位と応力の関係を得る。

$$\begin{aligned}
X_{ijl} &= E_{ijl} A_{ijl} (u_{ijl} - u_{jl}) + T_{ijl} - \alpha t_{ijl} E_y A_{ijl} \\
Y_{ijl} &= \frac{12 E_{ijl} I_{ijl}}{l_{ij}^3} \frac{v_{ijl} - v_{jl} - \frac{1}{12} l_{ij} (\phi_{ijl} + \phi_{jl})}{1 + 12 \epsilon_{ij}} \\
N_{ijl} &= \frac{E_{ijl} I_{ijl}}{l_{ij}^2} \frac{6(v_{ijl} - v_{jl}) - 2l_{ij}(1 - 6\epsilon_{ij})\phi_{ijl}}{1 + 12 \epsilon_{ij}} - 4t_{ijl}(1 + 3\epsilon_{ij})\phi_{ijl}
\end{aligned} \quad \left. \begin{array}{l} \\ \\ \end{array} \right\} \cdots \cdots (13)$$

$$N_{ijl} = N_{ijl} - Y_{ijl} l_{ij}$$

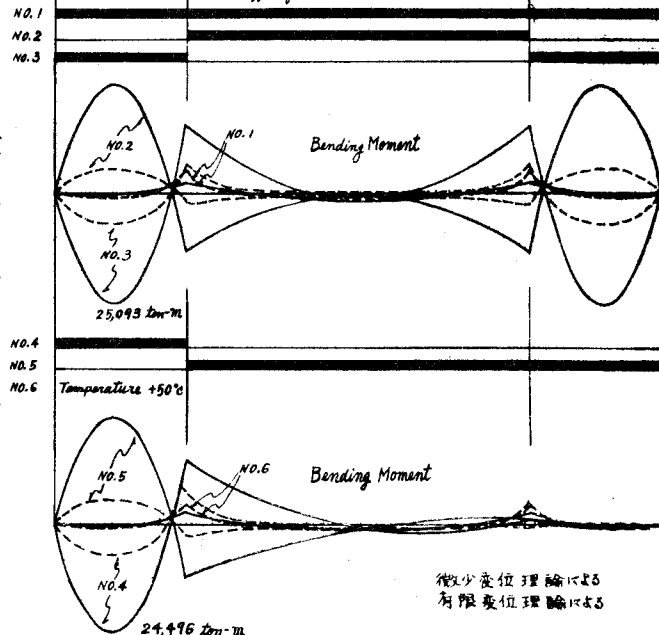
ただし

$$\epsilon_{ijl} = \frac{E_{ijl} A_{ijl}}{G_{ijl} A_{ijl}} \frac{l_{ij}}{l_{ij}}$$

ここ(12), T_{ijl} , $\alpha t_{ijl} E_y A_{ijl}$ は (i, j) 部材の
Pre-tension および 温度項, u_{ijl} は i 結合点の変位量である。

以上から(10)式に(13)式を代入すれば
部材結合点の平衡方程式が得られる。
応用例 右図は直角吊橋をもつ標準的な吊橋の応力計算例である。吊橋間隔は 12 m, 結合点数は 236 である。
自重は全て cable によって支えられるものとして、計算にあたっては cable および hanger に pre-tension を与えて平行応力を除いた。死荷重は 13.8 ton/m, 活荷重は 2 ton/m としてある。

参考文献 { 成蹊勝式 弾性構造
平井 敦 鋼構造工学
藤野勉 (三善重工技報)
大坂義司 大坂義司による平面構造応力解析



微少変位理論による
有限変位理論による